

## ДОСЛІДЖЕННЯ ДИНАМІКИ КОЛОЇДНИХ СИСТЕМ ЗА ДОПОМОГОЮ РОЗСІЯННЯ ПОВІЛЬНИХ НЕЙТРОНІВ

В.І. Слісенко, О.Я. Дзюблик, Т.В. Кармазіна<sup>1</sup>, П.Г. Іваницький,  
О.А. Василькевич, Н.І. Вальковська, В.С. Прокопенко, В.В. Кротенко

<sup>1</sup>*Інститут колоїдної хімії та хімії води НАН України, Київ*

Методом непружного та квазіпружного розсіяння повільних нейtronів досліджено вплив графітованої сажі на динаміку молекул у водному розчині тритона X-100. Показано, що протягом 40 год у системі "вода - ПАР - сорбент" переважають нестабільні, частково гідрофобні, утворення колоїдних розмірів. Через 40 год ці колоїдні частинки стабілізуються і стають гідрофільними.

Для розробки нових технологій з використанням поверхнево-активних речовин (ПАР) значимою є інформація щодо впливу твердого сорбенту на динаміку молекул водних розчинів ПАР.

У даній роботі подаються результати досліджень впливу графітованої сажі на динаміку молекул водного розчину тритона X-100 методом квазіпружного розсіяння повільних нейtronів (КРПН). У проведених експериментах з КРПН використовувався розчин з концентрацією ПАР після його контакту з сорбентом, рівною 0,06 ммол/л, що відповідає 0,25 (зразки 2 - 4) ККМ (критична концентрація міцелоутворення). При цьому концентрація розчину ПАР до адсорбції складала 0,228 ммол/л, або 0,95 ККМ. Результати досліджень зразків 2 - 4 відрізняються один від одного початком часу вимірювання нейtronних спектрів розчину після відокремлення його від графітованої сажі з адсорбованим на ній тритоном X-100. Так, зразок 2 було досліджено відразу ж після відокремлення рідкої фази від твердої, зразок 3 - через 24 год, а зразок 4 - через 40 год. Для порівняння досліджувався також водний розчин тритона X-100 з концентрацією останнього 0,25 ККМ (зразок 5), що не був у контакті з сорбентом. Було досліджено також і зразок 6 - водний розчин тритона X-100 з концентрацією ПАР 0,25 ККМ у бідистилаті (зразок 1), що знаходився в контакті з графітованою сажею протягом 24 год, а потім його було декантовано від видимих частинок сажі. На рис. 1 показано спектри квазіпружного розсіяння повільних нейtronів на досліджених зразках при 22° С. Максимум інтенсивності квазіпружних піків приходиться на 275-й канал. Тут же показано і низькоенергетичну частину непружного розсіяння повільних нейtronів (НРПН). У цій частині спектра НРПН для зразків 2, 3 і 6 спостерігаються два піки, максимуми яких знаходяться в 256-му та 264-му каналах. Для зразків 4 і 5 спостерігається тільки один максимум (264-й канал).

По квазіпружній частині цих спектрів визначається залежність розширення квазіпружного піка  $\Delta E$  від квадрата переданого імпульсу  $\kappa^2$  для зразків 2 - 6, яку представлено на рис. 2 кружками.

Визначення характеристик процесу дифузії в розчинах, що досліджуються, провадилося за наступною методикою. Залежність ширини квазіпружного піка  $\Delta E$  від квадрата переданого імпульсу  $\kappa^2$  має вигляд

$$\Delta E(\kappa^2) = \frac{h}{\pi \tau_0} \left[ 1 - \frac{\sin(kl)}{kl} \exp(-2W) \right] + \frac{1.3h}{\pi} D_l \kappa^2, \quad (1)$$

де  $h$  - постійна Планка;  $l$  - довжина стрибка атома (молекули);  $D_l$  - коефіцієнт дифузії лагранжевої частинки;  $\tau_0$  - час перебування частинки в коливному стані;  $\exp(-2W)$  - фактор Дебая - Валлера, що пов'язаний з інтенсивністю лінії КРПН  $I_0$  таким чином:

$$I_0 \sim \exp(-2W) = \exp(-x^2 \kappa^2), \quad (2)$$

де  $x^2$  - середньоквадратичне відхилення атомів (молекул) від положення рівноваги внаслідок коливань;  $\kappa = k - k_0$  - переданий нейtronом у процесі розсіяння імпульс;  $k_0$  і  $k$  - абсолютні значення хвильових векторів нейtronів до і після розсіяння відповідно.

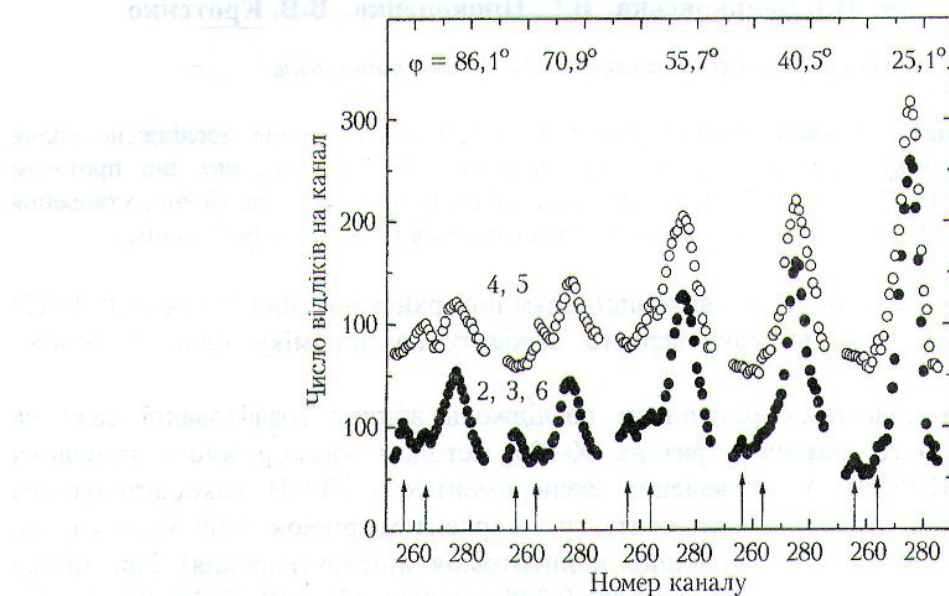


Рис. 1. Спектри розсіяння повільних нейtronів на водному розчині тритона X-100 до (5) і після контакту з графітованою сажею (2 - 4, 6).

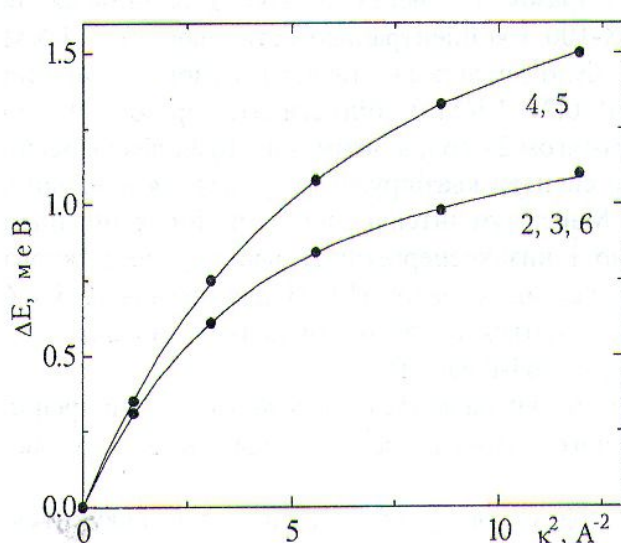


Рис. 2. Залежність  $\Delta E(\kappa^2)$  для водних розчинів тритона X-100. Кружки - експериментальні значення, суцільна лінія - розрахунки за формуловою (1).

При  $\kappa^2 \rightarrow \infty$  формула (1) приймає вигляд

$$\Delta E(\kappa^2) = \frac{h}{\pi \tau_0} + \frac{1.3h}{\pi} D_l \kappa^2. \quad (3)$$

Звідси

$$D_l = \frac{\pi}{1.3h} \cdot \frac{\partial(\Delta E)}{\partial(\kappa^2)}, \quad (4)$$

тобто  $D_l$  визначається за зміною  $\Delta E$  при зміні  $\kappa^2$  від  $8,7$  до  $12,2 \text{ } \overset{\circ}{\text{A}}^2$  (див. рис. 2). Підставляючи значення  $D_l$  в (3), отримаємо значення  $\tau_0$ .

При  $\kappa^2 \rightarrow 0$  формула (1) матиме вигляд

$$\Delta E(\kappa^2) = \frac{hl^2 \kappa^2}{6\pi \tau_0} + \frac{hD_l \kappa^2}{\pi}. \quad (5)$$

Враховуючи, що

$$l^2 = 6D_f \tau_0, \quad (6)$$

де  $D_f$  - коефіцієнт дифузії скачком, отримаємо

$$\Delta E(k^2) = \frac{h}{\pi} (D_f + D_l) k^2 = \frac{h}{\pi} D k^2, \quad (7)$$

де  $D$  - загальний коефіцієнт дифузії

$$D = \frac{\pi}{h} \cdot \frac{\partial(\Delta E)}{\partial(k^2)} - \frac{x^2}{\tau_0} - 0.3D_l, \quad (8)$$

тобто  $D$  визначається за зміною  $\Delta E$  при зміні  $k^2$  від 0 до  $1,16 \text{ \AA}^2$ .

Визначені з експериментально отриманої залежності  $\Delta E(k^2)$  за формулами (4), (5) і (8) коефіцієнти дифузії  $D$ ,  $D_f$  і  $D_l$ , а також величина перескоку атомів (молекул) I та час їх життя в коливному стані  $\tau_0$  підставлялись у формулу (1) і методом найменших квадратів у всьому діапазоні переданих імпульсів корегувалися. Отриману таким чином криву  $\Delta E(k^2)$  показано на рис. 2 суцільною лінією, а характеристики дифузії молекул представлено в таблиці. Похибка визначення цих характеристик не превищує 7,5 %.

Розчини ПАР у воді після контакту з сажею (2 - 4, 6) відрізняються від розчину 5 можливою присутністю в перших дрібнодисперсних частинках сажі. У поставлених експериментах після відокремлення твердої фази від рідкої у відокремленому від сорбента розчині присутність сажі не виявлено, але це не виключає можливості присутності її в мікроскопічних кількостях. В умовах проведення експерименту дрібнодисперсні частинки сажі в малих кількостях (<0,1 %) не впливають на динаміку молекул води. Про це свідчить збіг отриманих нами експериментальних даних з КРПН на воді, яка раніше перебувала в контакті з сажею (зразок 1), з аналогічними даними для чистої води. Тобто зміни, що відбуваються в розчинах після їх контакту з графітованою сажею визначаються взаємодією молекул ПАР з водою та сорбентом. Цікаво, що результат не залежить від того, чи була сажа в воді до внесення ПАР (зразок 6), чи залишалася в системі після декантациї (зразки 2 і 3). Це підтверджується експериментальними даними з розсіяння повільних нейtronів на зразках 2, 3 і 6. Спектри розсіяння повільних нейtronів на зразках 4 і 5 також збігаються. Це вказує на те, що через 40 год після відокремлення розчинів від твердої фази динаміка молекул у системі така ж, як і в розчині ПАР, який не перебував у kontaktі з графітованою сажею.

Для пояснення процесів, що відбуваються у водному розчині тритона X-100 до і після контакту з графітованою сажею, розглянемо низькоенергетичну частину спектрів НРПН. Відзначимо, що 256-й канал приведених спектрів (див. рис. 1) відповідає переданий нейtronом у процесі розсіяння енергії  $\varepsilon_2 \approx 2,6 \text{ мeV}$ , а 264 -  $\varepsilon_1 \approx 1,5 \text{ мeV}$ . Проведені нами раніше нейtronні дослідження адсорбційних шарів тритона X-100 на силі-кагелі [1] і графітованій сажі [2] показали, що пік непружного розсіяння нейtronів при енергії  $\varepsilon_1 \approx 1,5 \text{ мeV}$  відповідає коливанням гідрофільної частини молекул тритона X-100 при жорсткому закріпленні на сорбенті гідрофобної частини, а пік при  $\varepsilon_2 \approx 2,6 \text{ мeV}$  - коливанням гідрофобної частини при жорсткому закріпленні гідрофільної. Тобто в зразках 2, 3 і 6, що були в kontaktі з графітованою сажею, а потім декантовані, протягом  $\leq 40$  год спостерігається адсорбція тритона X-100 на графітованій сажі як гідрофобною частиною ( $\varepsilon_1 \approx 1,5 \text{ мeV}$ ), так і гідрофільною ( $\varepsilon_2 \approx 2,6 \text{ мeV}$ ). Протягом 40 годин у розчині відбувається переорієнтація тих молекул тритона X-100, які спочатку були адсорбовані гідрофільною

**Характеристики процесу дифузії молекул у водних розчинах тритона X-100 до (5) і після kontaktу з графітованою сажею (2 - 4, 6)**

№ зразка	D	D <sub>f</sub>	D <sub>l</sub>	1 ·10 <sup>10</sup> , м	$\tau_0$ ·10 <sup>12</sup> , с	x <sup>2</sup> ·10 <sup>20</sup> , м <sup>2</sup>
	·10 <sup>9</sup> , м <sup>2</sup> /с					
1	2,23	1,77	0,46	1,72	2,80	0,142
2, 3, 6	1,68	1,46	0,22	1,34	2,05	0,110
4, 5	1,80	1,12	0,68	1,16	2,0	0,115

частиною. Через 40 год гідрофобні частини молекул тритона Х-100 повністю видаляються з водного оточення, адсорбуючись графітованою сажею. Таким чином, протягом 40 год у водному розчині ПАР, що контактував з графітованою сажею, молекули води зазнають дії як гідрофобних, так і гідрофільних частин молекул ПАР.

Наявність у молекул тритона Х-100 гідрофобної та гідрофільної частин [4] призводить до двох конкуруючих ефектів у водних розчинах з концентраціями ПАР, меншими за ККМ. Гідрофобна (углецеводнева) частина підсилює водневі зв'язки між молекулами води, в той час як гідрофільна (окситетильна) послаблює їх.

Як видно з таблиці, внесок лагранжевих частинок у розчинах, що контактували з графітованою сажею (зразки 2, 3 і 6), менший, ніж у звичайному розчині тритона Х-100 (зразок 5). Присутність сажі в розчині викликає появу в деякій мірі гідрофобних нестабільних частинок колоїдних та субколоїдних розмірів, що і призводить до зменшення коефіцієнта дифузії лагранжевих частинок на фоні збільшення коефіцієнта дифузії скачком і часу життя молекул у коливному стані. Через 40 год після відокремлення розчину від твердої фази відбувається їх стабілізація і частинки стають гідрофільними, що призводить до збільшення коефіцієнта дифузії лагранжевих частинок, загального коефіцієнта дифузії та зменшення часу життя молекул у коливному стані.

Таким чином, процес стабілізації (повної сорбції гідрофобними ділянками) у водних розчинах тритона Х-100 в присутності графітованої сажі відбувається протягом  $\leq 40$  год. Частинки колоїдних та субколоїдних розмірів, які при цьому утворюються, частково гідрофобні, що і проявляється в характеристиках дифузії даних розчинів. Через 40 год ці частинки стабілізуються і стають повністю гідрофільними.

#### СПИСОК ЛІТЕРАТУРИ

1. Кармазина Т.В., Клименко Н.А., Слисенко В.И. и др. Применение неупругого рассеяния медленных нейтронов для исследования силикагеля после контакта с раствором ПАВ // Коллоидный журнал. - 1991. - Т. 53, № 2. - С. 356.
2. Кармазина Т.В., Клименко Н.А., Слисенко В.И. и др. Исследование графитированной сажи после контакта с водным раствором ПАВ методом рассеяния медленных нейтронов // Химия и технология воды. - 1991. - Т. 13, № 8. - С. 678.
3. Слисенко В.И., Иваницкий П.Г., Кармазина Т.В. и др. Квазиупругое рассеяние медленных нейтронов на тритоне Х-100 и его водных растворах // Укр. хим. журнал. - 1993. - Т. 59, № 6. - С. 563.

#### ИССЛЕДОВАНИЕ ДИНАМИКИ КОЛЛОИДНЫХ СИСТЕМ С ПОМОЩЬЮ РАССЕЯНИЯ МЕДЛЕННЫХ НЕЙТРОНОВ

В.И. Слисенко, А.Я. Дзюблік, Т.В. Кармазина, П.Г. Іваницкий,  
А.А. Василькевич, Н.І. Вальковская, В.С. Прокопенко, В.В. Кротенко

Методом неупругого и квазиупругого рассеяния медленных нейтронов исследовано влияние графитированной сажи на динамику молекул в водном растворе тритона Х-100. Показано, что в течение 40 ч в системе "вода - ПАВ - сорбент" преобладают нестабильные, частично гидрофобные, коллоидные образования. Через 40 ч эти коллоидные частицы стабилизируются и становятся полностью гидрофильными.

**INVESTIGATION OF DYNAMICS OF COLLOID SYSTEMS  
BY SLOW NEUTRON SCATTERING**

V.I. Slisenko, A.Ya. Dzyublik, T.V. Karmazina, P.G. Ivanitsky,  
A.A. Vasilkevich, N.I. Valkovska, V.S. Prokopenko, V.V. Krotenko

The influence of graphite carbon black on molecular dynamics in water solution of triton X-100 has been investigated by the method of inelastic and quasielastic neutron scattering. At the beginning during 40 hours in the system water-surfactant-sorbent unstable partially hydrophobic colloid aggregates are shown to be predominate. After 40 hours this colloid particles become stable and completely hydrophilic.

Вивчено вплив графітової карбон-бек на молекулярну динаміку в водному розчині трітону X-100 методом інеластичної та квазіеластичної нейтронної розсійки. На початку під час 40 годин у системі вода-серфактант-сорбент нестабільні частково гідрофобні колоїдні агрегати показані як переважаючі. Після 40 годин ці колоїдні частинки стають стабільними та повністю гідрофільними.

**Keywords:** Triton X-100, graphite carbon black, slow neutron scattering, molecular dynamics, colloid aggregates.

Науковий підход до вивчення динаміки молекул в колоїдних системах заснований на використанні методу медленного нейтронного розсіювання. Це дозволяє отримувати інформацію про динаміку молекул в колоїдних агрегатах, які є переважаючими компонентами в колоїдних системах. Вивчені властивості колоїдних агрегатів залежать від складу колоїдної системи та від умов, під якими вона утворюється. Вивчені властивості колоїдних агрегатів залежать від складу колоїдної системи та від умов, під якими вона утворюється.

Вивчені властивості колоїдних агрегатів залежать від складу колоїдної системи та від умов, під якими вона утворюється. Вивчені властивості колоїдних агрегатів залежать від складу колоїдної системи та від умов, під якими вона утворюється.

Вивчені властивості колоїдних агрегатів залежать від складу колоїдної системи та від умов, під якими вона утворюється.